

## Multifazalı neft-qaz qarışığının sulaşmasının quyunun fontan vurmasına təsirinin diaqnostikası

F.B. İsmayılova

Azərbaycan Dövlət Neft və Sənaye Universiteti

**Açar sözlər:** multifazalı texnologiya, fontanvurma, fontan qaldırıcı, məhsuldarlıq əmsali, axın rejimi, qaz amili.

DOI.10.37474/0365-8554/2022-05-26-30

e-mail: fidan.ismayilova.2014@mail.ru

### Диагностирование влияния обводненности мультифазной нефтегазовой смеси на фонтанирование скважин

Ф.Б. Исмайлова

Азербайджанский государственный университет нефти и промышленности

**Ключевые слова:** мультифазная технология, фонтанирование, фонтанный подъемник, коэффициент продуктивности, режим течения, газовый фактор.

Исследовано влияние степени обводненности скважинной продукции на гидравлические характеристики мультифазного подъемника и разработан метод диагностики влияния увеличения процента обводненности на фонтанирование скважин. На основе мультифазных технологий была определена величина забойного давления, соответствующая окончанию периода фонтанирования, с учетом обводненности и режимов течения скважинной продукции. Установлено, что по изменению градиента давления по сечению мультифазного подъемника можно диагностировать условия фонтанирования.

### The diagnostics of the effect of flooding of multi-phase oil-gas mixture on the blowout of wells

F.B. Ismayilova

Azerbaijan State University of Oil and Industry

**Keywords:** multi-phase technology, blowout, flow lift, productivity rate, flow regime, gas factor.

The paper deals with the study of the degree of flooding effect of well product in the hydraulic characteristics of the multi-phase lift and the development of the diagnostics method of the impact of flooding increase on the well blowout. On the basis of the multi-phase technologies, the bottomhole pressure corresponding to the end of blowout period considering the flooding and flow regimes of well product has been specified. It was defined that the diagnostics of the blowout conditions becomes possible due to the change of pressure gradient by the section of multi-phase lift.

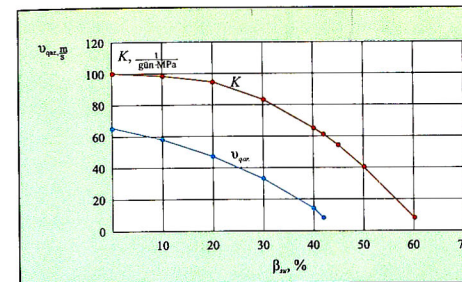
Neftqazçixarmada bir çox məsələlər-neftin çıxarılma üsulunun təyini, quyuların istismar rejiminin quymasılması və vacib olan avadanlıqların seçilməsi, dəniz şəraitində quyu məhsullarının yığılması və nəqli multifazalı məhsulların qaldırıcı və dik borularda hərəkətli bağlı olmaqla hidrodinamik hesablamalar tələb edir [1, 2]. Mədən tacrübəsində multifazalı qaldırıcıların hesablanması üçün nasos-kompressor borusları (NKB) boyunca təzyiqin paylanması əyrisinin  $p = f(H)$  qurulması zamanı analitik üsuldan istifadə olunur. Multifazalı qaldırıcıının hidravlik hesablanmasında məqsəd onun diametri və uzunluğunun seçilməsi, eləcə də quyu şəraitinə uyğun optimal iş rejiminin təyin edilməsidir. Quyularda iş rejiminin qazlift və fontan üsulu ilə istismarında seçilməsi prinsipləri müxtəlifdir [1, 2]. Belə ki, qazlift qaldırıcıının hesablanması zamanı əsas qazın işçi agentin xüsusi sərfi və enerjinin minimal olmasına ibarətdir, səh. fontan qaldırıcıının hesablanması zamanı isə NKB boyunca orta təzyiqlər fərqiinin minimum olması quyunun maksimal hasilatı üçün vacib şərtlərdir. Odur ki, quyunun fontanvurma ehtimalının diaqnostikası

ürün quyudibi təzyiqin minimal qiymətinin təyini məsəlesi böyük əhəmiyyət kəsb edir.

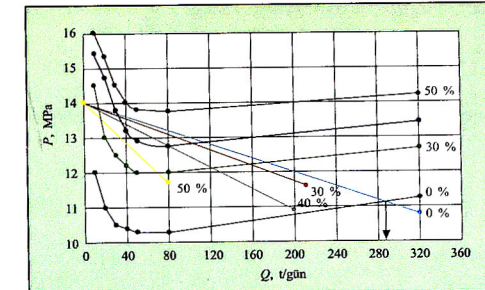
Mühüm məsələlərdən biri də məhsulun sulaşma dərəcəsinin multifazalı qaldırıcıının işinə təsirinin arşdırılması və artan su faizi fonunda fontanvurmanın diaqnostikası ilə bağlıdır.

Məsələnin qeyolu. Qeyd olunanları nəzərə alaraq aşağıda multifazalı qarışığın sulaşması quyunun fontanvurmasına təsiri və bu zaman minimal quyudibi təzyiqin necə dəyişməsi məsələləri araşdırılmışdır. Multifazalı texnologiyalar əsasında fontanvurma şərtinin limit qiymətini təyin etmək mədən məlumatlarından istifadə olunmuşdur: məhsuldar layın yatma dərinliyi – 1700 m; lay təzyiqi – 14 MPa; qazsızlaşdırılmış neftin sıxlığı – 860 kg/m<sup>3</sup>; lay neftinin sıxlığı – 760 kg/m<sup>3</sup>; suyun sıxlığı – 1180 kg/m<sup>3</sup>; doyma təzyiqi – 8.92 MPa; qaz amili – 47 m<sup>3</sup>/m<sup>3</sup>; qazın sıxlığı – 1.38 kg/m<sup>3</sup>; quyuağzında minimal təzyiq – 0.3 MPa; multifazalı qaldırıcı borunun diametri – 62 mm-dir.

Fərəz edək ki, yataq lay təzyiqinin 14 MPa səviyyədə saxlanması ilə istismar olunur. Məhsuldarlıq əmsalinin sulaşmadan asılılığı şəkil 1-də göstərilmişdir.



Şəkil 1. Məhsuldarlıq  $K$  və sürətin ( $v_{qar}$ ) sulaşma fai-zindən asılılığı



Şəkil 2. Fontanvurma şərtinin limit qiymətinin təyini

$\beta_{su}$ %	$K$ $t/gün \cdot MPa$	$p_s$ MPa	$Q$ t/gün	$\Delta p$ MPa	$\bar{\rho}_{qar}$ kg/m <sup>3</sup>	$\dot{Q}_p$ m <sup>3</sup> /s	$\dot{Q}_q$ m <sup>3</sup> /s	$\dot{Q}_{qar}$ m <sup>3</sup> /s	$v_{qar}$ m/s	(dp/dr), MPa/m
0	100	11.12	288	2.88	810	0.0041	0.1927	0.1968	65	340
20	95	11.65	220	2.35	884	0.0029	0.1363	0.1392	46	170
30	83	12.22	148	1.78	921	0.0019	0.0893	0.0912	30	72
40	65	12.82	77	1.18	956	0.0009	0.0423	0.0432	14	15
42*	60	13.25	45	0.75	964	0.0005	0.0235	0.024	8	5
50	36	-	-	-	995	-	-	-	-	*

\* – Bu sulaşmadan sonra fontanvurma dayanır.

Məsələnin həlli üsulları. Multifazalı şaquli boru kəmərinin-qaldırıcıının hidravlik hesablanması aparmaq üçün ilk növbədə hansı fazanın (maye və ya qazın) aktiv dispersion mühit olması müəyyən edilməlidir [3–6]. Bu məqsədlə qaz tutumunun həcmi  $\beta$ -nın qiyməti məlum olmalıdır. Əgər  $\beta > 0.7$  olarsa, onda boru kəməri monofazalı qaz kəməri kimi,  $\beta < 0.5$  olarsa, maye (neft) kəməri kimi hesablanıla bilər. Qaz kəməri kimi hesablandıqda mühitin sıxılması və qazın özlülüyü nəzərə alınmalıdır. Hesablama kəmərin sonundan başlangıçına doğru aparılacaqsə, bu zaman məlum son təzyiq  $p_s$  və qazın sərfinə görə ( $Q_q$ ) başlangıç təzyiq aşağıdakı ifadəyə əsasən təyin edilir [7]:

$$p_b = \sqrt{p_s^2 + (4200\lambda p_q Q_q^2 T_{or} L) / D^5}, \quad (1)$$

burada  $p_b$ ,  $p_s$  – uyğun olaraq qaz kəmərində başlangıç və son təzyiq;  $D$ ,  $L$  – kəmərin diametri və uzunluğu, km;  $Q_q$  – qazın normal şəraitdə sərfi, m<sup>3</sup>/saat;  $T_{or}$  – kəmər boyu qazın orta temperaturudur, K.

$p = f(H)$  asılılıqlarından istifadə edərək şəkildə diametri 62 mm olan qaldırıcı üçün və quyuağzı təzyiq 0.3 MPa olduqda neftin müxtəlif sulaşmaları zaman xarakterik hidravlik əyrişlər qurulmuşdur (şəkil 2). Bu şəkildə həmçinin  $\beta_{su} = 0\%$ ,  $k = 100 t/(gün \cdot MPa)$  və  $p_i = 14$  MPa qiymətlərində indikator əyrişləri də

əks olunmuşdur. Qurulmuş qrafiklərə əsasən susuz  $\beta_{su} = 0\%$  halda indikator xəttinin qaldırıcının xarakterik əyrisilə kəsişmə nöqtəsi sulaşmayan quyunun fontanvurma rejimini təyin etməyə imkan verir:  $p_{qd} = 11.2 \text{ MPa}$  və  $Q = 288 \text{ t/gün}$ . Sonra qrafikdə məhsulun müxtəlif sulaşmaları  $k = f(\beta_{su})$  (bax: şəkil 1) asılılığından istifadə olunaraq müxtəlif sulaşma hallarına görə indikator əyrləri də qurulmuşdur. Beləliklə, müxtəlif sulaşmalarla fontan quyunun işinin rejim xarakteristikası təyin edilmiş və  $p_{qd}$ ,  $Q_m$  və  $\Delta p = p_i - p_{qa}$  parametrlərinin qiymətləri cədvəldə verilmişdir.

Şəkil 2-dən göründüyü kimi, 50 % sulaşma olduqda indikator xətti qaldırıcının xarakteristikası əyrisilə kəsişmər. Yəni bu sulaşma həddində quyunun fontan vurması mümkün deyil. Yalnız quyu  $\beta_{su} = 40\%$  sulaşma olduqda fontan vurur. Məlumdur ki, fontan quysu üçün sulaşmanın limit qiyməti 40–50 % arasında yerləşir. İnterpolyasiya üsulu ilə müəyyən etmək olar ki, fontanvurma  $\beta_{su} = 42\%$  olduqda dayanır. Bu sulaşma həddində şəkil 1-dən göründüyü kimi, məhsuldarlıq əmsali  $k = 60 \text{ t/(gün · MPa)}$  təşkil edir.

İndi isə verilən şərtlər daxilində 42 % sulaşma halında fontanvurmanın minimal quydibi təzyiqini təyin edək. İlk növbədə verilən texnoloji parametrlərə əsasən həllolma əmsali təyin edilir [2]:

$$\alpha = \frac{\Gamma \rho_{nd}}{10^3 (p_{doy} - 0.1) 10^6} = \frac{47 \cdot 860}{10^3 (8.92 - 0.1) 10^6} = 4.6 \text{ MPa.}$$

$p_{qd} > p_{doy}$  olduğu üçün effektiv qaz amili aşağıdakı ifadəyə əsasən təyin olunur [2]:

$$\Gamma_{ef} = \frac{\Gamma - 10^3 \frac{\alpha}{\rho_{nd}} p_{qa}}{2} \left( 1 - \frac{\beta_{su}}{100} \right) = \frac{47 - 10^3 \frac{4.6 \cdot 10^{-6}}{860} 0.3 \cdot 10^6}{2} \left( 1 - \frac{42}{100} \right) = 11 \text{ m}^3/\text{t.}$$

Quyuağzı təzyiqin doyma təzyiqinə bərabər olan nöqtəyə kimi məsafə, qaldırıcının uzunluğu, əgər axın zonasında sürtünmə nəzərə alınmazsa, aşağıdakı kimi təyin oluna bilər:

$$H = L \frac{p_{qd} - p_{qa}}{\rho_m g},$$

burada quyu dərinliyi  $L = 1700 \text{ m}$  təşkil edir. Quydibi təzyiq azaldıqca qaldırıcının uzunluğu çoxalır. Fontanvurmanın maksimal quydibi təzyiqinə qaldırıcının maksimal uzunluğu uyğun gəlir və effektiv qaz amilinin quydibi təzyiqdən asılı olmadığını nəzərə alsaq, fontanvurma şərtinə əsasən:

$$H_{max} = 0.5 \left[ h + \sqrt{h^2 + 10.31 \Gamma_{ef} d^{0.5} h l_g \frac{p_{doy}}{p_{qa}}} \right],$$

burada  $h = \frac{p_{doy} - p_{qa}}{\rho_m g}$   $\bar{\rho}_m$  – qaz-maye qaldırıcısının uzunluğu boyu mayenin orta sıxlığıdır.

Verilənlərə əsasən  $\bar{\rho}_m$  və  $h$ -in qiymətləri aşağıdakı kimi hesablanır:

$$\bar{\rho}_m = 830(1 - 0.42) + 1180 \cdot 0.42 = 894 \text{ kg/m}^3,$$

$$h = \frac{(8.92 - 0.3) 10^6}{894 \cdot 9.81} = 983 \text{ m.}$$

Hesablamaşlardan alınan qiymətləri  $H_{max}$ -in ifadəsində nəzərə alsaq, qaldırıcının maksimal uzunluğu üçün  $H_{max} = 1242 \text{ m}$  alarıq.

Onda fontanvurmanın minimal quydibi təzyiqini aşağıdakı ifadəyə əsasən hesablamaq olar:

$$p_{qd min} = p_{doy} + (L - H_{max}) \bar{\rho}_m g 10^{-6} = 8.92 + (1700 - 1242) 879 \cdot 9.81 \cdot 10^{-6} = 12.88 \text{ MPa.}$$

Quyu məhsulu 42 % sulaşma həddində çatdıqda quydibi təzyiq 12.8 MPa-dək azaldıqda quyunun fontanvurması dayanacaqdır.

Maye-qaz qarışığının qaldırıcı boruda axın rejimini multifazalı texnologiyalar əsasında aşağıdakı iki hal üçün yoxlayaqla:

1. Quyu məhsulu sulaşmayıb. Yəni verilən şərtlərə görə qaldırıcıda neftin homogen axını, disperqlənmiş hərəkət forması mövcuddur. Qaz tutumunun həcmi böyük olduğu üçün qaz fazası aparıcı-dispersiya faza, neft isə dispers fazası kimi qəbul edilir. Beləliklə, en kəsik boyu təzyiq qradiyentinin maksimal qiymətini aşağıdakı düsturla hesablamaq olar:

$$(dp/dr)_m = 6.16 \bar{\rho}_{qar} v_{qar}^2 / d;$$

$$v_{qar} = \frac{4Q_{qar}}{\pi d^2},$$

burada  $\bar{\rho}_{qar}$  – qarışığın orta sıxlığı,  $\text{kg/m}^3$ ;  $d$  – qaldırıcının diametri  $0.062 \text{ m}$ -dir;

$\bar{\rho}_{qar}$ ,  $v_{qar}$  – uyğun olaraq qarışığın sərfi ( $\text{m}^3/\text{s}$ ) və sürəti ( $\text{m/s}$ )-dir.  $\bar{\rho}_{qar}$ ,  $Q_{qar}$ ,  $v_{qar}$  və  $(dp/dr)_m$  parametrlərinin müxtəlif sulaşma faizlərində neft-qaz qarışqları üçün hesablanmış qiymətlər cədvəldə verilmişdir.

Multifazalı qarışığın sürətinin  $v_{qar}$  və qaldırıcının en kəsik boyu təzyiq qradiyentinin  $(dp/dr)$  quyu məhsulun sulaşma faizindən asılı olaraq dəyişməsi uyğun olaraq şəkil 1 və 3-da göstərilmişdir.

Qaz-maye qaldırıcısının uzunluğu boyu homogen qarışığın sıxlığı  $\rho_m$ -dir. Baxılan halda  $p = p_{doy}$  olduğu üçün neft-qaz və neft-qaz-su qarışığının sıxlığı homogen qarışqlar hesab olunur.

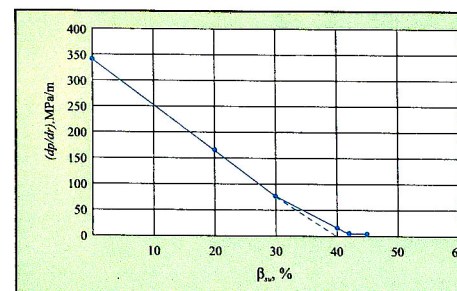
$\bar{\rho}_n$  – lay nefti ( $p_n$ ) və qazsızlaşmış ( $p_n$ ) neftlərin orta sıxlığıdır.  $\rho_n$  və  $\bar{\rho}_m$  sıxlıqları uyğun olaraq aşağıdakı ifadələrə əsasən təyin edilir:

$$\bar{\rho}_n = (\rho_n + p_n)/2,$$

$$\bar{\rho}_m = \bar{\rho}_n (1 - \beta_{su}) + \rho_{su} \beta,$$

burada  $\beta_{su}$  – neftin sulaşma payıdır.

Quyu məhsulu artıq sulaşib. Məhsulun müxtəlif sulaşma hallarına (20, 30, 40, 42 və 50 %) baxılmışdır. Sulaşma amilinin quyunun fontan vurmasına təsiri tədqiq olunub. Bu halda həmcinin sulaşmanın hansı faizində fontan vurmasının başa çatması və bu zaman hansı minimal quydibi təzyiqdə baş vermesi araşdırılmışdır. Məsələnin şərtinə görə  $p_{qd} > p_{doy}$  olduğunu nəzərə alaraq multifazalı sulaşmış qarışığı disperqlənmiş hərəkət rejiminin mövcudluğu yoxlanılmışdır. Bu məqsədə qaldırıcının en kəsik boyu yaranan təzyiq qradiyentinin hesablanmış qiymətləri fazaların xüsusi çəkilərinin fərqi ilə  $(\bar{\rho}_m - \bar{\rho}_q)$  tutusdurulmuşdur. Qeyd etmək lazımdır ki, bu zaman  $\bar{\rho}_m$  – neft-su qarışığının orta sıxlığı kimi qəbul edilmişdir. Qazın sıxlığı isə minimal quyuağzı təzyiq və minimal quydibi təzyiq nəzərə alınaraq hesablanmışdır.



Şəkil 3. Təzyiq qradiyentinin sulaşma faizindən asılılığı

Bu sıxlıqlar uyğun olaraq 4.2 və 15.1  $\text{kg/m}^3$  təşkil etdiyini nəzərə alaraq hesablaması üçün  $\bar{\rho}_q = 15.1 \text{ kg/m}^3$  qəbul edilmişdir. Beləliklə,

$$g(\bar{\rho}_{qar} - \bar{\rho}_q) = 9.81(964 - 15.1) = 9310 \frac{\text{Pa}}{\text{m}} = 0.01 \frac{\text{MPa}}{\text{m}}.$$

Göründüyü kimi,  $dp/dr$  təzyiq qradiyenti fazaların xüsusi çəkilərinin fərqindən (baxılan halda  $dp/dr = 5 \text{ MPa/m}$ ) 500 dəfə çoxdur. Yəni baxılan bütün sulaşma hallarında axının disperqlənmiş forması mövcud olaçqdır. Sonuncu hesablamadan axının disperqlənmiş formadan təbəqələşmiş (ayrı-ayrı fazalar şəklində) hərəkət rejiminə keçidə uyğun gələn böhran sürətinin qiymətini də hesablamaq olar.

$$v_{\text{böh}} = \sqrt{\frac{\frac{dp}{dr} d}{6.16 \bar{\rho}_{\text{qar}}}} = \sqrt{\frac{10^5 \cdot 0.062}{6.16 \cdot 946}} = 1.03 \frac{\text{m}}{\text{s}}.$$

Göründüyü kimi, qaz tutumu  $\beta = 0.997$  olan qaz-maye karışığı üçün bu küçük süre fromanturma dövründə qeyd olunan rejimin reallaşması mümkün deyil.

Mühüm nöticelərdən biri kimi, şəkil 3-dən da göründüyü kimi, qaldırıcıının en kəsiyi boyu təzyiq qraziyentinin məhsulun sulaşma faizindən asılı olaraq dəyişməsinə əsasən quyunun fontan dövrünün hansı sulaşmada başa çatmasının diaqnostikasının mümkün olmasını qeyd etmək lazımdır. Belə ki, şəkil 3-dən göründüyü kimi, məhsulun təqribən 40–41 % sulaşması hansı ki,  $(dp/dr)$  parametrinin minimal qiymətinə uyğun gelir, bu fontanvurmanın başa çatmasına dələyi olsa da bir işarədir.

#### Nəticə

Multifazalı texnologiyalar əsasında quyu məhsulunun sulaşmasının fontanvurmaya təsiri tədqiq olunmuşdur. Sulaşmanın hansı faizində fontanvurmanın başa çatması və bunun quyudibə təzyiqinən hansı qiymətində baş verməsinin təyini məqsədilə diaqnostik üsul işlənmişdir.

#### Ədəbiyyat siyahısı

1. Крылов А.П., Глогоеский М.М., Мирчинк М.Ф. и др. Научные основы разработки нефтяных месторождений. – Москва-Ижевск: ИКН, 2004, 416 с.
2. Мищенко И.Т. Скважинная добыча нефти. – М.: Изд-во “Нефть и газ”, 2003, 816 с.
3. Гриченко А.И., Клапчук О.В. Гидродинамика газожидкостных смесей в скважинах и трубопроводах. – М.: Недра, 1994, 238 .
4. Нигматуллин Р.И. Динамика многофазных сред. Т.1. – М.: Наука, 1987, 464 с.
5. Шлихтинг Г. Теория пограничного слоя. – М.: Наука, 1974, 711 с.
6. İsmayılov Q.Q., İsmayılova F.B., İskəndərov E.X. Neftqazçixarmada multifazalı texnologiyalar. – Bakı: Elm, 2018, 248 s.
7. Ситенков В.Т. Теория градиентно-скоростного поля. – М.: ОАО ВНИИОЭНГ, 2004, 308 с.

#### References

1. Krylova A.P., Glogovsky M.M., Mirkhink M.F. i dr. Nauchnye osnovy razrabotki neftyanykh mestorozhdeniy. – Moskva-Izhevsk: IKN, 2004, 416 s.
2. Mishchenko I.T. Skvazhinnaya dobycha nefti. – M.: Izd-vo “Neft i qaz”, 2003, 816 s.
3. Grichenko A.I., Klapchuk O.V. Gidrodinamika gazozhidkostnykh smesey v skvazhinakh i truboprovodakh. – M.: Nedra, 1994, 238 s.
4. Nigmatulin R.I. Dinamika mnogofaznykh sred. t.1. – M.: Nauka, 1987, 464 s.
5. Shlikhting G. Teoriya pogranichnogo sloya. – M.: Nauka, 1974, 711 s.
6. Ismayilov G.G., Ismaylova F.B., Iskenderov E.Kh. Neftgazchikharmada multifazali tekhnologiyalar. – Bakı: Elm, 2018, 248 s.
7. Sitenkov V.T. Teoriya gradientno-skorostnogo polya. – M.: OAO VNIIOENG, 2004, 308 s.